

Влияние магнитного поля на зарождение и свойства 0-градусных доменных границ в одноосных пленках с неоднородным магнитоэлектрическим взаимодействием.

Вахитов Р.М., Солонецкий Р.В., Ибрагимова А.Р.

¹Уфимский университет науки и технологий, 450076, г. Уфа, Россия
vakhitovrm@yahoo.com

Аннотация

В работе исследуется поведение 0-градусных доменных границ, возникающих в одноосных магнитных пленках с флексомагнитоэлектрическим эффектом, в магнитном поле. Показано, что при определенных ориентациях магнитного поля можно существенно усилить (или ослабить) степень проявления флексомагнитоэлектрического эффекта в изучаемых пленках. Кроме того, варьированием величины и направления магнитного поля можно значительно понизить (вплоть до нуля) значение критического электрического поля зарождения данной неоднородности. Установлено также, что 0-градусная доменная граница неелевского типа, в которой индуцируемые связанные заряды не создают результирующего поля (экранировка полей), при наложении магнитного поля, направленного перпендикулярно плоскости вращения магнитных моментов, возникает флексомагнитоэлектрический эффект, усиливающийся с возрастанием величины магнитного поля.

ВВЕДЕНИЕ

Исследования магнитоэлектрических явлений в магнитных материалах, как правило, вызывают повышенный интерес, что связано как с новыми необычными свойствами, обнаруженными в них, так и с возможностью их применения в различных устройствах спинтроники с низким энергопотреблением [1-3]. Одним из таких эффектов, привлечший внимание многих исследователей, стало обнаруженное в пленках ферритов-гранатов при комнатных температурах явление смещения доменных границ (ДГ) под действием неоднородного электрического поля [4]. На основе анализа экспериментальных данных авторами было высказано предположение, что наблюдаемое явление имеет магнитоэлектрическую природу и обусловлено наличием в изучаемых пленках неоднородного магнитоэлектрического взаимодействия (флексомагнитоэлектрический эффект), впервые предложенного к рассмотрению в работе [5]. Однако такая интерпретация опытных данных была подвергнута сомнению в работе [6], в которой был предложен другой механизм для объяснения обнаруженного явления. В его основе лежит эффект возможного смещения однопипных ионов под действием электрического поля заряженной иглы, поднесенной к поверхности пленки, что может привести к локальному изменению константы одноосной анизотропии. Сравнительный анализ обоих механизмов показал, что на качественном уровне они объясняют практически все известные экспериментальные результаты [7]. Отсюда следует, что рассмотренные механизмы не противоречат друг другу и каждый вносит свой вклад в проявлении данного эффекта. Однако какой из них является доминирующим можно выявить лишь в ходе

дальнейших исследований. Тем не менее в работе [8], в которой изучались локальные электрические поля, генерируемые в ДГ в пленках ферритов-гранатов, на основе методики флуоресцентной спектроскопии одиночных молекул была подтверждена флексомагнитоэлектрическая (ФМЭ) природа наблюдаемого эффекта. Кроме того, изучение влияния зеемановского взаимодействия на степень проявления ФМЭ эффекта в пленках ферритов-гранатов показало [7,9], что, если внешнее магнитное поле направить перпендикулярно плоскости вращения магнитных моментов 180° ДГ, то, изменяя величину и направление поля, можно регулировать величиной эффекта (точнее, значением интегральной поляризации [7,9,10]) и даже «переключать» характер взаимодействия с притяжения на отталкивание. Последнее свойство может служить дополнительным аргументом в пользу ФМЭ природы рассматриваемого явления [11], а также иметь практическое применение. Следует отметить, что экспериментальные исследования данной ситуации [7,9] хорошо согласуются с результатами её теоретического обоснования на основе феноменологической модели [10,11]. В то же время в работе [12], где впервые были проведены расчеты возможных магнитных неоднородностей в одноосном ферромагнетике с неоднородным магнитоэлектрическим взаимодействием, было показано, что в таких материалах могут существовать наряду со 180° ДГ блоховского типа, (которая при приложении электрического поля становится квазиблоховской) еще и 0° ДГ с квазиблоховской структурой (0° ДГ (I)). Кроме того, дальнейшие исследования выявили, что в случае, когда на исследуемый магнетик действует неоднородное электрическое поле, то в области локализации поля может

образоваться еще один вид магнитной неоднородности – 0° ДГ неелевского типа (0° ДГ (II)) [13]. Необходимо отметить, что неоднородности с такой нетривиальной структурой не являются чем-то необычным, несоответствующим реальным объектам в иерархии микромагнитных структур. Они относятся к семейству нетопологических солитонов [14] и при определенных условиях они могут стать устойчивыми образованиями, например, зародиться на определенном виде дефектах материалов [15-17]. Кроме того, они играют важную роль в спин-переориентационных фазовых переходах I рода, в которых 0° ДГ являются зародышем новой фазы, как бы осуществляя переход магнетика из одного состояния в другое посредством флуктуационного механизма [18,19]), а также в процессах их намагничивания и перемагничивания, где они ассоциируются с доменами обратной намагниченности [20]. Следует отметить, что в случае ферромагнитных пленок с ФМЭ эффектом магнитные неоднородности типа 0° ДГ экспериментально не были обнаружены. Это вполне объяснимо, так как согласно [12] 0° ДГ (I) могут зародиться в подобных пленках лишь при больших величинах электрического поля, существенно превышающих их характерные значения, при которых ФМЭ эффект может проявиться, т.е. наблюдаться в эксперименте [4]. Поэтому представляет интерес изучение влияния магнитного поля на условия зарождения, структуру и поляризацию 0° ДГ в рассматриваемых пленках (как внешнего фактора с потенциальными возможностями изменения этих свойств).

2. Основные уравнения

Рассмотрим одноосный ферромагнетик с ФМЭ взаимодействием в виде пленки конечной толщины (D). Систему координат возьмем таким образом, чтобы ось $Oz \parallel \mathbf{n}$ (\mathbf{n} - нормаль к поверхности пленки) и совпадала с легкой осью одноосной анизотропии, а ось Oy определяла направление, вдоль которого магнетик неоднороден, т.е. $\mathbf{M} = \mathbf{M}(y)$, где \mathbf{M} - вектор намагниченности (Рис.1). Вектор \mathbf{M} удобно выразить через единичный вектор намагниченности \mathbf{m} : $\mathbf{M} = M_s \mathbf{m}$, где M_s -намагниченность насыщения, $\mathbf{m} = (\sin\theta \cos\varphi, \sin\theta \sin\varphi, \cos\theta)$.

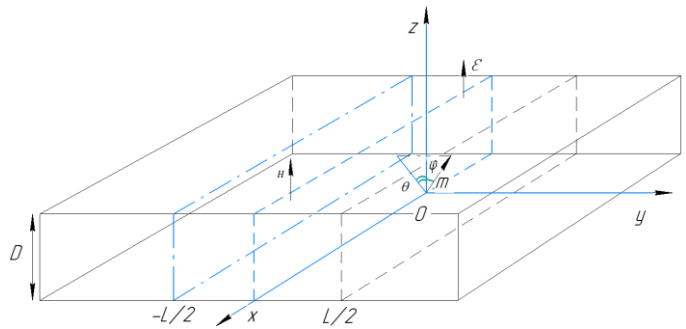


Рис.1. Схема, иллюстрирующая геометрию задачи

Тогда энергия такого магнетика, приведенная к площади сечения пленки плоскостью Oxz , будет иметь вид [11,12]

$$E = \int_{-\infty}^{\infty} \left\{ A \left[\left(\frac{d\varphi}{dy} \right)^2 + \cos^2 \varphi \left(\frac{d\theta}{dy} \right)^2 \right] + K_u (\sin^2 \theta \cos^2 \varphi + \sin^2 \varphi) + 2\pi M_s^2 \sin^2 \varphi + \varepsilon_n + \varepsilon_{int} \right\} dy \quad (1)$$

Здесь θ, φ - полярный и азимутальный углы вектора \mathbf{m} (Рис.1), A -обменный параметр, K_u -константа одноосной анизотропии, $\varepsilon_n, \varepsilon_{int}$ -плотности энергии, соответственно, зеемановского и неоднородного магнитоэлектрического взаимодействий, которые можно представить в виде

$$\varepsilon_n = -M_s \mathbf{m} \mathbf{H}, \quad \varepsilon_{int} = \varepsilon M_s^2 \left[(b_1 \cos^2 \varphi + b_2 \sin^2 \varphi) \cos \theta \frac{d\varphi}{dy} + b_2 \sin \theta \sin \varphi \cos \varphi \frac{d\theta}{dy} \right] \quad (2)$$

где b_1, b_2 – магнитоэлектрические постоянные [21], \mathbf{H} и \mathbf{E} – напряженности, соответственно, магнитного и электрического полей, при этом $\mathbf{E} \parallel Oz$, а \mathbf{H} имеет произвольное направление. Кроме того, электрическое поле \mathbf{E} считается неоднородным, т.е.

$$\mathbf{E} = \varepsilon_0 / \text{ch}(y/L), \quad (3)$$

где L -ширина поперечного размера полосовой области действия электрического поля, ε_0 - величина поля в центре полосы.

Предполагается, что рассматриваемая пленка является достаточно толстой ($\Delta_0 \ll D < \Lambda_0$, где $\Delta_0 = \sqrt{A/K_u}$ – характерная ширина 180° ДГ, $\Lambda_0 = \sqrt{A/2\pi M_s}$ -размер линии Блоха [22]) и пренебрегается вкладом размагничивающих и рассеивающих полей.

Структура и свойства возможных магнитных неоднородностей описывается уравнениями Эйлера-Лагранжа, которые соответствуют минимуму (1) и имеют вид [4]:

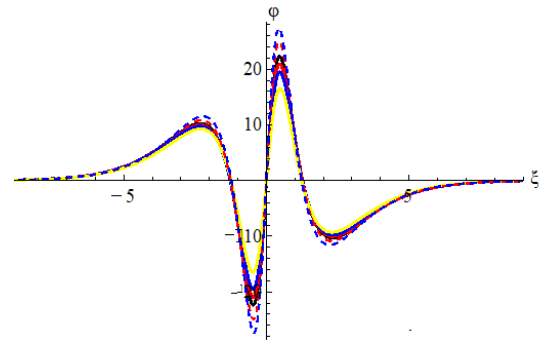
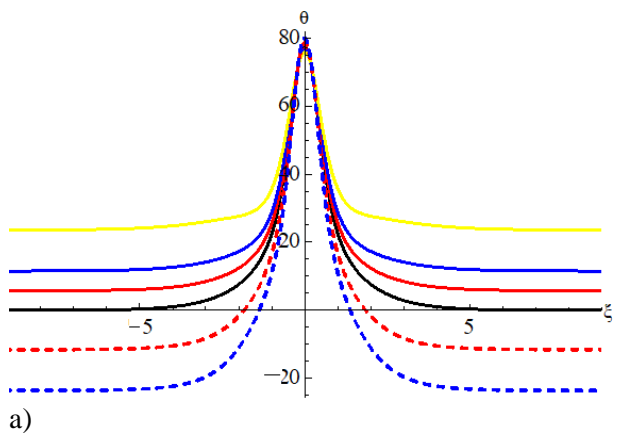
$$\frac{d\varepsilon}{d\theta} - \frac{d}{dy} \frac{d\varepsilon}{d\theta'} = 0, \quad \frac{d\varepsilon}{d\varphi} - \frac{d}{dy} \frac{d\varepsilon}{d\varphi'} = 0, \quad (4)$$

где ε — представляет плотность полной энергии магнетика, которому отвечает подынтегральное выражение в (1), заключенному в фигурные скобки, штрихом обозначена производная по y .

Уравнения (4) представляют собой систему нелинейных дифференциальных уравнений с непостоянными коэффициентами, которую в данном случае можно решить только численными методами [11,12]. При этом для удобства будем пользоваться приведенными величинами: $\xi = y/\Delta_0$, $l = L/\Delta_0$, $Q = K_u/2\pi M_s^2$ (фактор качества), $h = M_s H/2K_u$, $\lambda = \varepsilon_0/\varepsilon_c$, $\varepsilon_c = 2K_u\Delta_0/M_s^2 b_0$ (характерная величина электрического поля), $b_0 = b_1 + b_2$, $\nu = p/p_0$, $p_0 = M_s^2 b_0/\Delta_0$ (характерная величина поляризации). Здесь $p = -d\varepsilon_{int}/d\varepsilon_0$ — дифференциальная поляризация.

3. 0° ДГ с квазиблоховской структурой

Исследование уравнений (2) при $h=0$ показывает, что решение, соответствующее 0° ДГ, возникает при достижении электрическим полем λ некоторого критического значения $\lambda = \lambda_n$ [12]. Зародившаяся таким образом 0° ДГ имеет неблоховское распределение намагниченности \mathbf{m} , в котором угловая зависимость $\varphi = \varphi(\xi)$ представляет нечетную функцию (Рис.2,b). Последняя в момент зарождения в области $\xi > 0$ имеет один максимум и один минимум, и их значения (φ_m), взятые по абсолютной величине, не малы и уменьшаются при возрастании электрического поля λ . Сразу же при $\lambda > \lambda_n$ возникает еще один экстремум функции $\varphi = \varphi(\xi)$ при $\xi > 0$, соответствующий минимуму и возрастающий по абсолютной величине при увеличении λ [12].



b)

Рис.2. Графики зависимостей углов θ (а) и φ (0° ДГ (I)) от координаты ξ в магнитном поле $H \parallel O_x$, при $\lambda = 4$. Здесь и в дальнейшем берутся следующие значения материальных параметров: $Q = 3$, $l = 5$. Черная линия соответствует $h = 0$, красная - $h = 0.2$, синяя - $h = 0.4$, желтая $h = 0.8$, красная штриховая - $h = -0.4$, синяя штриховая - $h = -0.8$.

Очевидно, 0° ДГ (I) будет также иметь ненулевую поляризацию, весьма существенную в момент зарождения. Её интегральная величина в этот момент также значительна, но с увеличением поля она будет уменьшаться. Согласно расчетам, индуцированные в области ДГ связанные заряды распределяются по толщине стенки неравномерно, но симметрично относительно ее центра [12]. При этом в профиле распределения электрической поляризации имеет место три минимума, один из которых расположен в центре 0° ДГ ($\xi = 0$), и два максимума, расположенные на одинаковых расстояниях по обе стороны от центра ДГ (как и два других минимума). С возрастанием λ в области ДГ образуется тройной и даже пятерной электрический слой (при определенном значении λ [12]). В результате величина интегральной поляризации существенно уменьшается (Рис.3), т. к. создаваемые этими слоями электрические поля частично экранируют друг друга.

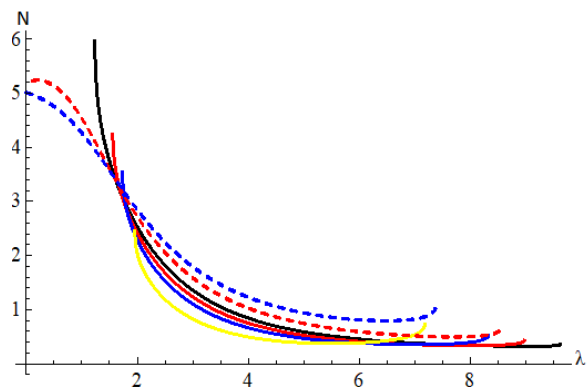


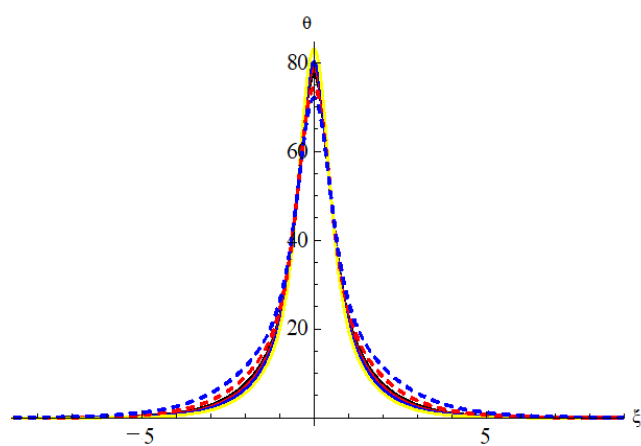
Рис.3. Графики зависимостей интегральной поляризации 0° ДГ (I) от параметра λ в магнитном поле $H \parallel O_x$. Здесь черная линия соответствует $h =$

0, красная - $h = 0.2$, синяя - $h = 0.4$, желтая $h = 0.8$, красная штриховая - $h = -0.4$, синяя штриховая - $h = -0.8$.

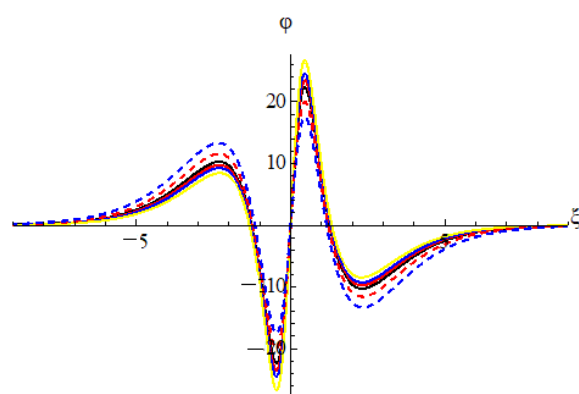
Учтем теперь влияние внешнего магнитного поля на структуру и свойства 0° ДГ (I). (При включении магнитного поля с $\mathbf{H} \parallel O_x$ вектор намагниченности в доменах \mathbf{M}_0 отклоняется в направлении поля на угол θ_0 , зависящий от величины h ($\theta_0 = \arcsin(h)$) [11]. Соответственно, максимальный угол отклонения $\Delta\theta_m = \theta_m - \theta_0$, отчитываемый от однородного состояния, в зародившейся 0° ДГ (I) с возрастанием величины h будет уменьшаться. При этом максимальное значение θ_m практически не меняется, в то же время φ_m (по абсолютной величине) – уменьшается (Рис.2). Это приводит к тому, что экстремальные значения дифференциальной поляризации по абсолютной величине в каждом электрическом слое уменьшаются, что в свою очередь, приводит к понижению интегральной величины поляризации (Рис.3). Кроме того увеличивается и критическое поле λ_n зарождения 0° ДГ (I). Таким образом, действие магнитного поля в рассматриваемой ситуации приводит к ослаблению ФМЭ эффекта.

В то же время, если направить поле \mathbf{H} противоположно оси O_x , то изменение структуры 0° ДГ (I) будет таким же значительным по величине, но с противоположной тенденцией. В этом случае магнитные моменты, стремясь повернуться в сторону поля, приведут к наклону намагниченности \mathbf{M}_0 в доменах на угол $\theta_0 = \theta(\infty) < 0$ и к возрастанию абсолютных величин экстремумов угловой зависимости $\varphi = \varphi(\xi)$ (Рис. 2). Это в свою очередь будет способствовать повышению абсолютных значений экстремумов дифференциальной поляризации $v = v(\xi)$. В то же время интегральная поляризация $N = N(\lambda)$ ведет себя неоднозначно: в малых полях h ($h < 1.6$) она уменьшается при увеличении h , а в сильных полях ($h > 1.6$) – увеличивается (Рис. 3). Однако при этом имеет место другая особенность рассматриваемой ситуации: с возрастанием h резко уменьшается поле зарождения 0° ДГ (I). В частности, при $h = -0.8$ будет отсутствовать порог зарождения 0° ДГ (I) по электрическому полю, что коррелирует с результатами исследований [19].

Если $\mathbf{H} \parallel O_z$, то в этом случае при $\lambda \neq 0$ симметрия распределения намагниченности в 0° ДГ (I) не нарушается (Рис.4).



a)



b)

Рис.4. Графики зависимостей углов θ (a) и φ (b) 0° ДГ (I) от координаты ξ в магнитном поле $\mathbf{H} \parallel O_z$, при $\lambda = 4$. Здесь черная линия соответствует $h = 0$, красная - $h = 0.2$, синяя - $h = 0.4$, желтая $h = 0.8$, красная штриховая - $h = -0.4$, синяя штриховая - $h = -0.8$.

Зависимость $\theta = \theta(\xi)$ остаётся чётной функцией с одним максимумом в центре стенки, а $\varphi = \varphi(\xi)$ – нечётной функцией с двумя минимумами и с двумя максимумами (Рис.4), которые при пространственной инверсии переходят друг в друга (если расположены на одинаковом расстоянии от центра ДГ). Однако при увеличении поля h увеличиваются максимальные значения углов θ_m и φ_m (при $\xi > 0$), в то время как минимальные углы φ_m ($\xi > 0$) по абсолютной величине уменьшаются. Характер профиля распределения поляризации при этом также меняется: при малых λ представляет четверной электрический слой (из них средние слои одинаково заряжены, а крайние – противоположно), а при $\lambda > 2.96$ (для $h = 0.4$, $Q = 3$) пятерной электрический слой (Рис.5).

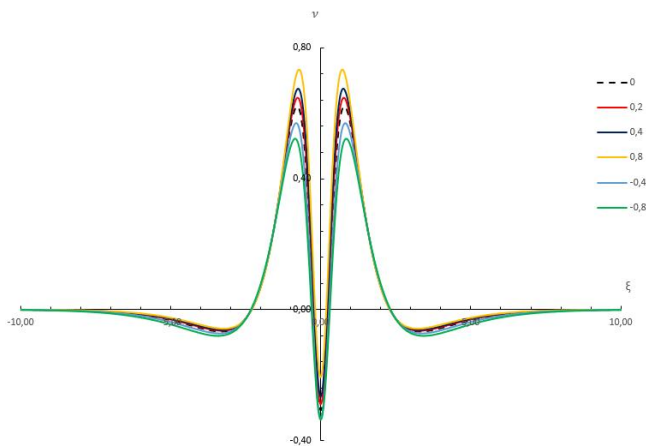


Рис.5. Графики, иллюстрирующие распределение дифференциальной поляризации v в области 0° ДГ (I) для случая $\mathbf{H} \parallel \text{Oz}$, при $\lambda = 4$. Здесь черная (штриховая) линия соответствует $h=0$, красная- $h=0.2$, синяя- $h=0.4$, оранжевая- $h=0.8$, голубая- $h=-0.4$, зеленая- $h=-0.8$.

При возрастании h максимумы функции $v = v(\xi)$ увеличиваются, а минимумы уменьшаются. Это ведет к тому, что интегральная поляризация возрастает (Рис.6). Отсюда следует, что при данной ориентации магнитного поля \mathbf{H} имеет место усиление ФМЭ эффекта в исследуемой плёнке, причем степень усиления ослабевает с возрастанием величины λ . В то же время, как видно из Рис.6, критическое поле λ_n увеличивается.

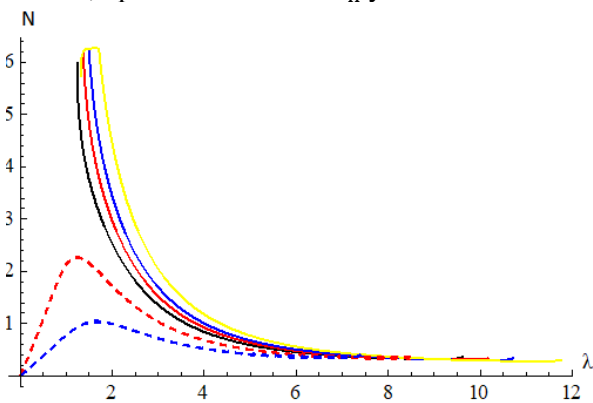
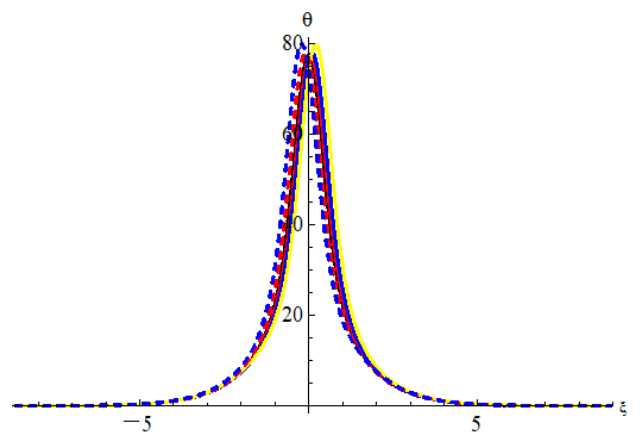


Рис.6. Графики зависимостей интегральной поляризации 0° ДГ (I) от параметра λ в магнитном поле $\mathbf{H} \parallel \text{Oz}$. Здесь черная линия соответствует $h = 0$, красная - $h = 0.2$, синяя - $h = 0.4$, желтая $h = 0.8$, красная штриховая - $h = -0.4$, синяя штриховая - $h = -0.8$.

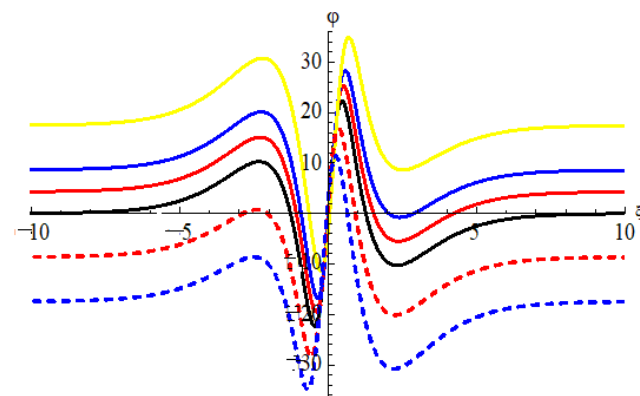
В ситуации, когда магнитное поле \mathbf{H} и ось Oz антипараллельны, конфигурация профиля 0° ДГ (I) также не меняется, но изменения в топологии, которые всё – таки имеют быть, носят характер, противоположный тому, что было отмечено для случая поля \mathbf{H} , направленного вдоль оси Oz . В частности, с возрастанием h интегральная поляризация N уменьшается, а также резко уменьшается поле зарождения 0° ДГ (I) (при $h=0,1$,

$\lambda_n = 0$). Эта означает, что при действии магнитного поля \mathbf{H} , совпадающей с легкой осью одноосной анизотропии, но направленной противоположно электрическому полю, зарождение 0° ДГ (I) возможно при произвольном $\lambda > 0$. Таким образом, действие магнитного поля с данным направлением приводит к исчезновению порога зарождения 0° ДГ в неоднородном электрическом поле, а также к ослаблению ФМЭ эффекта в рассматриваемом образце.

В случае, когда $\mathbf{H} \parallel \text{Oy}$ структура 0° ДГ (I) существенно трансформируется: характер распределения вектора намагниченности становится ассиметричным (Рис.7).



a)



b)

Рис.7. Графики зависимостей углов θ (a) и φ (b) 0° ДГ (I) от координаты ξ в магнитном поле $\mathbf{H} \parallel \text{Oz}$, $\lambda = 4$. Черная линия соответствует $h = 0$, красная - $h = 0.2$, синяя - $h = 0.4$, желтая $h = 0.8$, красная штриховая - $h = -0.4$, синяя штриховая - $h = -0.8$.

В данном случае вектор \mathbf{M} также отклоняется в сторону поля, но в рассматриваемой геометрии это приводит к тому, что в доменах $\theta(\infty) = 0$, $\varphi(\infty) = \varphi(-\infty) = \varphi_0 \neq 0$. При возрастании h магнитные моменты стремятся ориентироваться вдоль поля \mathbf{H} так, что величина $\theta(\infty)$ остается неизменным, а $\varphi(\infty)$ и $\varphi(-\infty)$ возрастают. В то же время θ_m увеличивается (хотя

незначительно) и значения $\xi = \xi_1$, при которых $\theta(\xi_1) = \theta_m$ смещаются в сторону возрастающих значений ξ . Такая же тенденция имеет место на графике зависимости $\varphi = \varphi(\xi)$, где максимумы и минимумы $\varphi(\xi)$ смещаются в ту же сторону (Рис.7). Кроме того при возрастании h графики смещаются вверх, т.к. при этом величины $\varphi(-\infty)$ и $\varphi(\infty)$ также возрастают. В итоге конфигурация магнитных моментов 0° ДГ изменяется и создает ассиметричную картину распределения намагниченности.

Соответственно, ассиметричным становится и распределение поляризации по толщине ДГ. При этом с увеличением h максимумы и минимумы профиля поляризации $v = v(\xi)$ по абсолютной величине увеличиваются и смещаются относительно оси ординаты в сторону возрастающих значений ξ . Следует отметить также, что критическое поле зарождения λ_n с увеличением поля h также увеличивается (Рис.8), а начальное значение интегральной поляризации N_n (её величина в момент зарождения 0° ДГ (I) при этом понижается. Однако её величина при фиксированном значении поля λ при возрастании h немного повышается (Рис.8). Таким образом при данной ориентации поля \mathbf{H} ФМЭ эффект усиливается, но в незначительной степени.

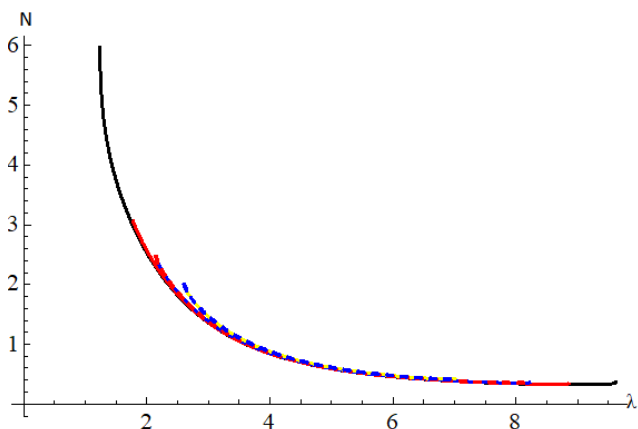
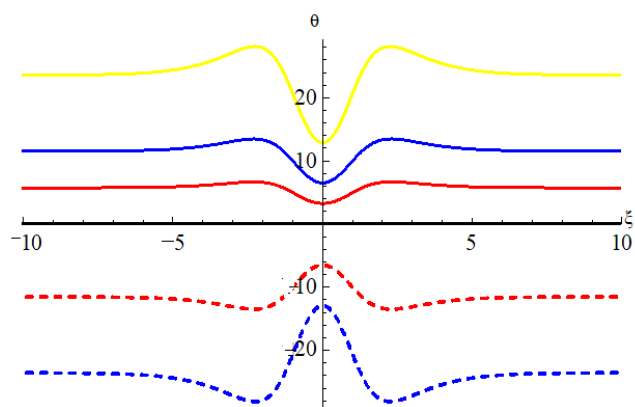


Рис.8. Графики зависимостей интегральной поляризации 0° ДГ (I) от параметра λ в магнитном поле $\mathbf{H} \parallel \text{Oy}$. Черная линия соответствует $h = 0$, красная - $h = 0.2$, синяя - $h = 0.4$, желтая $h = 0.8$, красная штриховая - $h = -0.4$, синяя штриховая - $h = -0.8$.

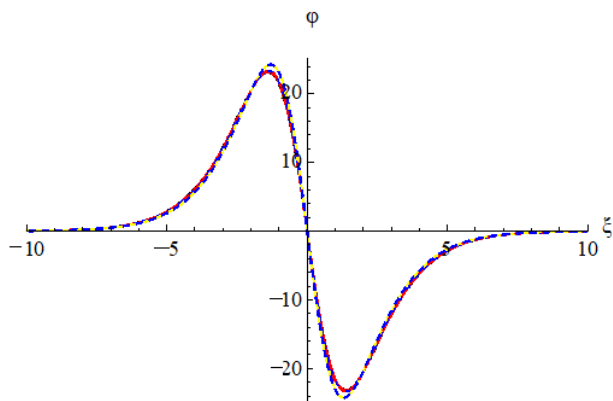
В случае действия магнитного поля в обратном направлении, графики зависимости $\theta = \theta(\xi)$ и $\varphi = \varphi(\xi)$ полностью повторяют ход соответствующих кривых для случая положительных значений поля с той лишь разницей, что они смещаются относительно оси ординат в сторону отрицательных значений ξ . Поэтому и выводы о характере проявления ФМЭ эффекта для данной ориентации будут такими, что и в предыдущем случае.

5. 0° ДГ неелевского типа

Рассмотрим ещё одно решение уравнений (5), которое было найдено в работе [19] и соответствует 0° ДГ с неелевским законом изменения намагниченности ($\mathbf{M}: \theta = 0, \varphi = \varphi(\xi)$). Данный тип магнитных неоднородностей весьма необычен и имеет ряд отличительных особенностей. В частности, условием его возникновения является наличие неоднородного электрического поля, в однородном поле такое решение отсутствует. Кроме того, функция $\varphi = \varphi(\xi)$ представляет собой ограниченную нечетную функцию с двумя экстремумами, равными по величине и противоположными по знаку (Рис.9).



a)



b)

Рис. 9. Графики зависимостей углов θ и φ 0° ДГ (II) от координаты в магнитном поле $\mathbf{H} \parallel \text{Ox}$. Здесь черная линия соответствует $h = 0$, красная - $h = 0.2$, синяя - $h = 0.4$, желтая $h = 0.8$, красная штриховая - $h = -0.4$, синяя штриховая - $h = -0.8$.

Величина φ в малых полях прямо пропорциональных λ , причем в этом случае основной вклад в зависимость φ от ξ оказывает часть неоднородного магнитоэлектрического взаимодействия, содержащая $\text{div} \mathbf{m}$ [21]. При больших значениях λ имеет место отклонение от линейного закона и основной вклад в структуру 0° ДГ (II) вносит другая часть неоднородного

магнитоэлектрического взаимодействия, которая содержит gotm . Поляризация, возникающая в окрестности такой 0° ДГ, является четной функцией от ξ , не повторяющей профиль зависимости $\varphi = \varphi(\xi)$. Она имеет один максимум (в центре стенки) и два симметрично расположенных относительно центра ($\xi = 0$) минимума ($v_m < 0$). Отсюда следует, что распределение зарядов в 0° ДГ (II) представляет собой тройной электрический слой. Его результирующее поле, как показывают расчёты, равно нулю, т.е. в рассматриваемой ситуации имеет место полная экранировка полей, создаваемых отдельными слоями. Таким образом, интегральная поляризация N данной неоднородности равна нулю и этот результат не зависит ни от величины поля λ , ни от размера области её действия l . Таким образом, связанные заряды под действием неоднородного электрического поля индуцируются в окрестности 0° ДГ, но при этом данная неоднородность не притягивается и не отталкивается от источника электрического поля. Это означает, что ФМЭ эффект, как таковой, в данном случае никак не проявится, хотя и имеет место возникновение зарядов.

При действии магнитного поля с $\mathbf{H} \parallel O_x$ на образец структура 0° ДГ (II) трансформируется следующим образом: магнитные моменты, поворачиваясь в сторону поля, способствуют выходу намагниченности из плоскости ДГ и в итоге $\theta \neq 0$. В силу того, что обменное взаимодействие на разных участках ДГ проявляется по-разному (в центре ДГ величина φ' принимает максимальное значение, а в экстремальных точках, в которых $\varphi' = 0$, имеет минимальное значение), то появляется зависимость θ от ξ (Рис. 9, а). При этом в центре ДГ ($\xi = 0$) θ принимает минимальное значение, а в экстремальных точках – максимальное. Следует отметить, что выражение для обменного взаимодействия (первое слагаемое в подинтегральном выражении (1)) содержит члены, содержащие как $(\theta')^2$, так и $(\varphi')^2$. В данном случае, зависимость $\varphi = \varphi(\xi)$ (Рис. 9, б) изменяется незначительно – лишь на немного ($< 10\%$) возрастают абсолютные значения экстремумов функции $\varphi = \varphi(\xi)$. В то же время функция $\theta = \theta(\xi)$, которая имеет минимум (при $\xi = 0$) и два симметрично расположенных максимума (относительно $\xi = 0$), с возрастанием h существенно изменяется. В частности, возрастает величина экстремумов, а разность между значениями максимума и минимума функции $\theta(\xi)$ также повышается. Кроме того увеличивается и расстояние между точками расположения максимумов. Дифференциальная поляризация $v = v(\xi)$ представляет собой также четную функцию, имеющую один максимум (в центре ДГ) и два

минимума. С увеличением h величины экстремумов незначительно возрастают, а расстояние между максимумами убывает. Это в свою очередь ведёт к появлению ненулевой величины интегральной поляризации, возрастающей с повышением h , а также и λ (Рис.10).

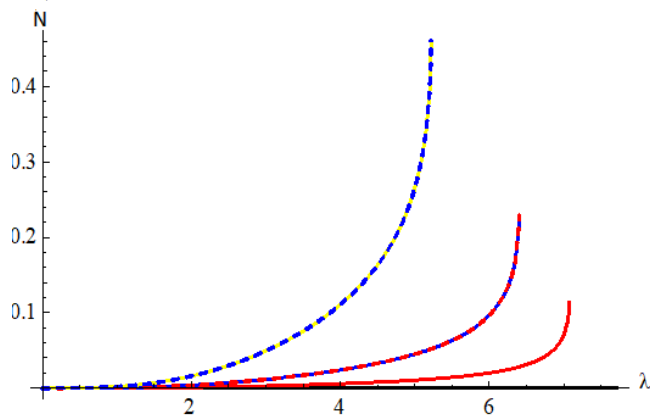


Рис.10. Графики зависимостей интегральной поляризации 0° ДГ (II) от параметра λ в магнитном поле $\mathbf{H} \parallel O_x$. Чёрная линия соответствует $h = 0$, красная - $h = 0.2$, синяя - $h = 0.4$, желтая $h = 0.8$, красная штриховая - $h = -0.4$, синяя штриховая - $h = -0.8$.

Зависимость интегральной поляризации от λ имеет вид резко возрастающей функции, стремящейся к вертикальной асимптоте $\lambda = \lambda_0$, причём чем больше поле h , тем меньше значение λ_0 . Таким образом, в рассматриваемом магнетике при $\mathbf{H} \parallel O_x$ возникает ФМЭ эффект, который затем (при возрастании h) может значительно усилён.

Если магнитное поле \mathbf{H} направлено антипараллельно оси O_x , то его действие приводит к наклону магнитных моментов в противоположную сторону на угол $\theta_0 = \theta(\infty) = \theta(-\infty) < 0$. За счет обменного взаимодействия появится зависимость $\theta = \theta(\xi)$ (как и в случае $\mathbf{H} \parallel O_x$), которая в итоге приводит к возникновению ненулевой интегральной поляризации $N=N(\lambda)$. Последняя будет иметь такой же вид, как и в предыдущем случае, т. к. плоскость O_{yz} является (как элемент симметрии) плоскостью отражения рассматриваемой магнитной системы до приложения магнитного поля на образец. Соответственно, возникающий ФМЭ эффект будет иметь такие же качественные и количественные изменения топологических и физических характеристик 0° ДГ (II).

В случае $\mathbf{H} \parallel O_y$ структура 0° ДГ (II) также изменяется, что связано с поворотом намагниченности в доменах в сторону направления поля на угол $\varphi_0 = \varphi(\infty) \neq 0$. Соответственно, графики функции $\varphi = \varphi(\xi)$ (Рис.11,а) с

возрастанием h как бы сдвигаются вверх с одновременным увеличением экстремальных значений $\varphi(\xi)$ по модулю, т.е. графики зависимости приобретают асимметричный вид. В то же время магнитные моменты не выходят из плоскости Oyz , следовательно, $\theta = 0$. Дифференциальная поляризация также имеет асимметричный вид, что имеет аналогию с распределением зарядов в 0° ДГ (I). В данном случае минимум функции $v = v(\xi)$ (Рис. 11, b), расположенный слева от $\xi = 0$, с повышением h увеличивается по абсолютной величине, а правый, наоборот, уменьшается. При этом точка максимума функции $v(\xi)$ смещается в сторону отрицательных значений ξ . Тем не менее интегральная поляризация остается равной нулю.

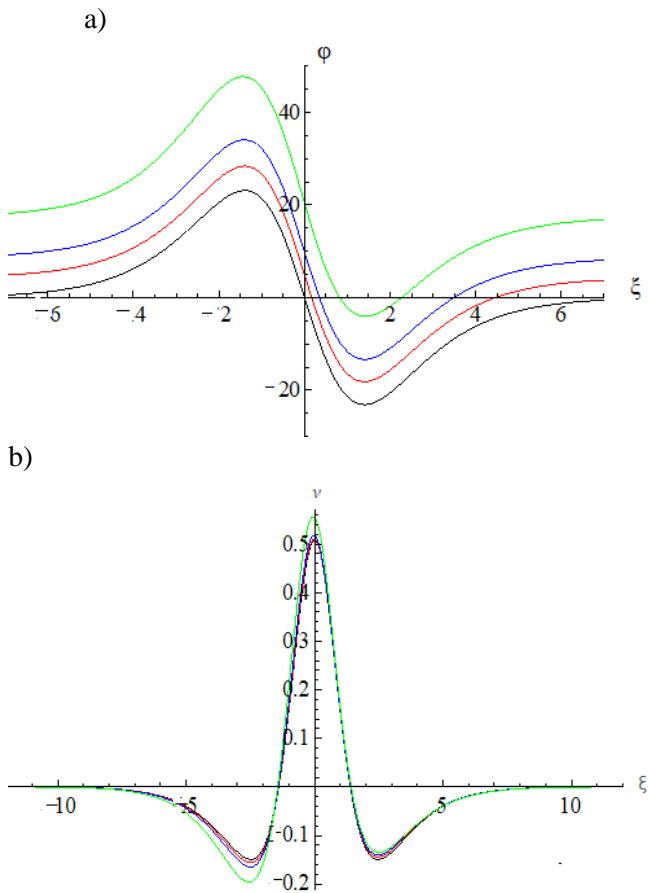


Рис.11. Профили угла φ (a) и поляризации v (b) в магнитном поле $h \parallel Oy$ при $\lambda = 4$. Черная линия соответствует $h = 0$, красная – $h = 0.2$, синяя – $h = 0.4$, зеленая – $h = 0.8$.

При действии магнитного поля, направленного противоположно оси Oy , состояние магнетика меняется также, как и в случае $\mathbf{H} \parallel Oy$. В то же время характер распределения намагниченности в образце не меняется. В частности, $\theta = 0$ и ФМЭ эффект не возникает.

Подобная ситуация имеет место и для $\mathbf{H} \parallel Oz$. В данном случае симметрия распределения намагниченности не нарушается, уменьшаются

лишь абсолютные значения экстремумов функции $\varphi = \varphi(\xi)$ (Рис. 12, a). Аналогичные изменения наблюдаются и в профиле распределения индуцированных зарядов в окрестности 0° ДГ (II) (Рис.12,b).

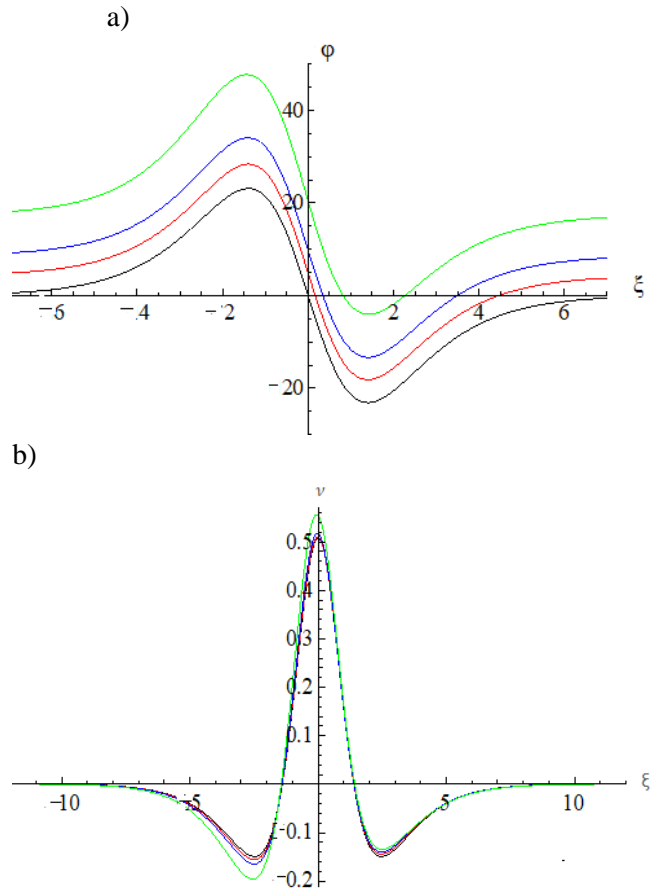


Рис. 12. Профили угла φ (a) и поляризации v (b) в магнитном поле $h \parallel Oz$ при $\lambda = 4$. Черная линия соответствует $h = 0$, красная – $h = 0.2$, синяя – $h = 0.4$, зеленая – $h = 0.8$.

Здесь также интегральная поляризация равна нулю. Если направление магнитного поля сменить на противоположное, то ситуация с проявлением ФМЭ эффекта не изменится, т. е. будет такой же, как и в случае с $\mathbf{H} \parallel Oz$.

5. Обсуждение результатов

Таким образом из приведенных результатов следует, что 0° ДГ обоих типов, возникающие в изучаемых магнетиках при весьма специфических условиях, существенно трансформируются при действии магнитного поля. Характер этих изменений сказывается на характеристиках 0° ДГ и определяется в основном направлением \mathbf{H} . В данном случае такими параметрами 0° ДГ с точки зрения их возможного использования в технических устройствах являются интегральная поляризация N и критическое поле их зарождения λ_c . Согласно расчетам в случае 0° ДГ (I) наиболее

значительное возрастание интегральной поляризации можно достичь при действии магнитного поля вдоль оси Oz, при следующих значениях параметров: $\lambda = 2$ и $h=0.8$ ($Q=1, l=5$). При этом величина N возрастает почти в 2 раза. Аналогичное усиление можно добиться и при $H\parallel O_x$, но при $\lambda = 7$, $h=-0.8$, т.е. при очень больших величинах электрических полей. В тоже время при данной ориентации магнитного поля возможно понижение порогового поля зарождения 0° ДГ (I) до 0 ($\lambda_n = 0$). Подобная ситуация может иметь место и для $H\parallel O_z$ ($h=0.1$). Приведенные примеры ориентации магнитного поля, когда $\lambda_n = 0$, создают предпосылки для возможного экспериментального наблюдения данного типа 0° ДГ.

В случае 0° ДГ (II) ситуация осложняется тем, что распределение намагниченности лежит в плоскости Oyz, которая в свою очередь является (как элемент симметрии) плоскостью отражения магнитной системы. Соответственно, действие магнитного поля, направленного вдоль оси Oy и вдоль Oz не может привести к выходу намагниченности из плоскости Oyz. Отсюда вытекает, что $\theta=0$. При этом индуцирование зарядов происходит таким образом, что их распределение в области 0° ДГ (II) является функцией четной, а интегральная поляризация остается нулевой.

В случае $H\parallel O_x$ симметрия магнитной системы нарушается, в результате появляется отклонение намагниченности от плоскости yOz, т.е. $\theta=\theta(y)$. Это, в свою очередь приводит к возникновению ненулевой интегральной поляризации, которая с возрастанием λ увеличивается и при стремлении $\lambda \rightarrow \lambda_0$ резко возрастает.

Таким образом исследования показывают, что воздействием магнитного поля на магнитоодноосную пленку с неоднородным магнитоэлектрическим взаимодействием можно регулировать многими свойствами пленки, в частности, влиять на степень проявления ФМЭ эффекта в них. Более того, можно также уменьшить критическое поле зарождения 0° ДГ (I) до нуля ($\lambda_n = 0$). Последнее означает, что таким образом можно наблюдать в рассматриваемых пленках зарождение 0° ДГ. Однако, необходимо отметить, что обнаружение одномерных микромагнитных структур, которыми являются 0° ДГ выше указанных типов, в экспериментальных условиях крайне сложно осуществить, хотя бы потому, что трудно создать одномерную узкую полосу воздействия электрического поля на пленку. В реальности область воздействия поля на нее имеет 2D-геометрию (в виде пятна с круговой, эллиптической и другими формами) и, следовательно, эти неоднородности точно должны

быть двумерными образованиями. В частности, если электрическое поле создается заряженной иглой [4], то наблюдаемые магнитные структуры будут представлять вихреподобные неоднородности (цилиндрические магнитные домены, магнитные скирмионы, магнитные вихри и т.д. [23]). Можно отметить, что такие структуры, в частности заряженный цилиндрический магнитный домен наблюдался в работе [23]. Для того, чтобы сказанное было более убедительным свидетельством наблюдения 0° ДГ в такой форме, необходимо провести соответствующие расчеты в двумерной модели. Однако, такие расчеты выходят за рамки нашего исследования, но в дальнейшем постараемся восполнить этот пробел.

Работа выполнена при финансовой поддержки Государственного задания на выполнение научных исследований лабораториями (Приказ МН- 8/1356 от 20.09.2021)

Список литературы:

- [1] M.Fiebig, T.Lottermoser, D.Meier, M.Trassin, Nat. Rev. Mater. **1**, (2016), 16046.
- [2] N.A.Spaldin, R.Ramesh, Nature Materials., **18**, (2019),212.
- [3] A.P. Pyatakov, A.K. Zvezdin. Phys. Usp., **55**, (2012), 557
- [4] A.S. Logginov, G.A. Meshkov, A.V. Nikolaev et al. Appl. Phys. Lett., **93**, (2008), 182510.
- [5] V.G. Baryakhtar, V.A. Lvov, D.A. Yablonsky JETP Letters, **37**, (1983), 567.
- [6] A.F. Kabychenkov, F.V. Lisovskii, E. Mansvetova JETP Letters, **97**,(2013),269
- [7] A.P. Pyatakov, A.S. Sergeev, E.P. Nikolaeva, T.B. Kosykh, A.V. Nikolaev, K.A. Zvezdin, A.K. Zvezdin, Phys. Usp., **58** (2015) 981.
- [8] I.S. Veshchunov, S.V. Mironov, W. Magrini et al. Phys. Rev. Lett., **115**, (2015), 027601
- [9] D.A. Sechin, E.P. Nikolaeva, A.P. Pyatakov, A.B. Nikolaev, T.B. Kosykh, Solid State Phenomena **233**, (2015), 446.
- [10] R.M. Vakhitov, R.V Solonetsky, V.R. Gurjanova, A.R. Nizyamova, D.A. Sechin, T.T. Gareev, A.P. Pyatakov, Phys. Rev., **104**, (2021), 144407
- [11] R.M. Vakhitov, R.V. Solonetskii, A.R. Nizyamova Phys. Metals Metallogr., **124**, (2023), 8.
- [12] R.M. Vakhitov, Z.V. Gareeva, R.V. Solonetsky, F.A. Mazhitova. Phys. Solid State., **61**, (2019), 1043.
- [13] F.A. Maksutova, R.V. Solonetskiy, R.M. Vakhitov, A.P. Pyatakov. Europhys. Lett., **129**, (2020), 27004.
- [14] A.M Kosevich, Fiz. Met. Metalloved, **53**, (1983), 446.

- [15] A.M. Balbashov, A.V. Zalessky, V.G. Krivenko, E.V. Sinitsyn *Technical Physics Letters* **14** (1988)297
- [16] E.B. Magadeev, R.M. Vakhitov *Phys. Metals Metallogr.*, **115**, (2014), 855
- [17] R.M. Vakhitov, T.B. Shapayeva, R.V. Solonetskiy, A.R. Yumaguzin, *Phys. Metals Metallogr.*, **118**, (2017), 545
- [18] R.M. Vakhitov, E.R. Gareeva, M.M. Vakhitova, A.R. Yumaguzin *Tech. Phys.*, **54**, (2009), 1140
- [19] R.M.Vakhitov, A.R. Yumaguzin, *JMMM*, **216** , (2000), 55
- [20] R.M. Vakhitov, E.R. Gareeva, M.M. Vakhitova, A.R. Yumaguzin *Phys. Solid State*, **51**, (2009),1865.
- [21] I. Dzyaloshinskii. *Europhys. Lett.*, **83**, (2008), 67001.
- [22] A. P. Malozemoff, J. C. Slonczewski. *Magnetic domain walls in bubble materials* Academic Press, (1979),326
- [23] D.P. Kulikova, A.P. Pyatakov, E.P. Nikolaeva et al. *JETP Letters.*, **104**, (2016), 196